

## 信頼性を制約条件とする最適設計

京都大学工学部 正員 山田善一  
京都大学大学院 学生員 小山健  
日本鉄道建設公團 正員 高田正治

1. まえがき 構造物の安全性と経済性という相反的要因をほど良く調和してはいるかに設計するには重要な課題である。今ではラーメン構造物の静的荷重を受ける場合について構造物を構成する各要素がもつ破壊確率に制約をつけて、その総重量を目的関数とし、要素断面積を設計変数として、最小重量設計を用いて、このための計画手法として、Datto's Method<sup>(1)</sup>によるAltitude Step Methodを応用した結果を報告する。

2. 確率密度関数について、荷重および強度のみを変動性をもつ変数として取り扱う。一般に荷重および強度の分布は多くのデータをもとにして、その分布形状を決定することは必要であるが、分布形状により破壊確率が10<sup>-3</sup>以下になると主に分布の尾部の影響が大きくあらわれる。一方でデータは中心領域に限られるなど多く尾部を正確に判断することは非常に困難である。ここでは便宜的に荷重・強度ともに正規分布と仮定する。

### 3. 最適化のための諸式

3-1 目的関数  $W = \sum_{i=1}^n p_i A_i l_i$   $=$   $\bar{W}$  : 総重量,  $p_i$  : 第*i*要素単位体積重量  
 $A_i$  : 断面積,  $l_i$  : 長さ,  $n$  : 設計変数総数

3-2 制約条件 許容破壊確率の概念を用ひる。第*i*要素の強度を  $a_i$ , 応力を  $f_i$  とすると、各要素に対する制約条件式は、 $P_f(a_i < f_i) \leq P_{f,i}$  ( $i = 1, 2, \dots, n$ ) となる。

3-3 最適化手法 詳細は前述の参考文献により省略するが、constant weight 面上を歩む。この中で side step vector を求めるための感度係数  $R_{ij}$  について述べておく。

第*i*要素の破壊確率および制約破壊確率はそれぞれ  $P_{f,i} = \alpha \times 10^{-a}$ ,  $P_{f,0,i} = \beta \times 10^{-b}$  ( $0 < \alpha, \beta < 1$ ,  $a, b > 0$ ) で表わされるとより  $R_{ij} = b/a$  または  $R_{ij} = 1/10^{(b-a)}$  の値を用ひる。

4. 要素破壊確率  $P_{f,i}$  荷重とそれにより生じる要素応力は線形関係を持つものであるから要素応力は荷重とともに変動係数をもつものと考へられる。一方で、2種以上の荷重が同時に作用するものもあり、また交互に作用するものもある場合には次のように考えて要素応力の平均値、分散値を算出する。同時に作用する荷重が複数あるとき第*i*荷重により第*i*要素に生じるモーメント、軸力を  $M_{ij}, N_{ij}$ 、断面係数を  $W_i$  とすると、応力  $f_{ij}$  は、 $f_{ij, max} = |M_{ij, max}/W_i| + N_{ij}/A_i$ ,  $f_{ij, min} = -|M_{ij, max}/W_i| + N_{ij}/A_i$  となり、 $(\bar{f}_{ij, max}, \sigma_{fij, max})$ ,  $(\bar{f}_{ij, min}, \sigma_{fij, min})$  が求まる。 $\bar{f} = (\bar{f}, \sigma_f)$  は、正規分布の平均値( $\bar{f}$ ), 標準偏差( $\sigma_f$ )を示す。以上より全同時荷重により応力の平均値、標準偏差は、

$$\begin{aligned}\bar{f}_{i, max} &= \sum_{j=1}^n \bar{f}_{ij, max}, \quad \sigma_{f_{i, max}} = \sqrt{\sum_{j=1}^n \sigma_{f_{ij, max}}^2} \\ \bar{f}_{i, min} &= \sum_{j=1}^n \bar{f}_{ij, min}, \quad \sigma_{f_{i, min}} = \sqrt{\sum_{j=1}^n \sigma_{f_{ij, min}}^2}\end{aligned}$$

引張り、圧縮強度分布を  $(\bar{S}_+, \tau_{s+})$ ,  $(-\bar{S}_-, \tau_{s-})$ ,  $\phi(w) = \frac{1}{\sqrt{2\pi}} \int_w^\infty e^{-\frac{t^2}{2}} dt$   
 $W_+ = |\bar{S}_+ - \bar{f}_{i,\max}| / \sqrt{\tau_{s+}^2 + \bar{f}_{i,\max}^2}$ ,  $W_- = |\bar{S}_- - \bar{f}_{i,\min}| / \sqrt{\tau_{s-}^2 + \bar{f}_{i,\min}^2}$  とすると第*i*要素の破壊確率は、

- (i)  $\bar{f}_{i,\max} > 0$ ,  $\bar{f}_{i,\min} < 0$  のとき  $P_{f,i} = \phi(W_+)$ ,  $P_{f,i} = \phi(W_-)$  より  $P_{f,i} = P_{f,i1} + P_{f,i2}$
- (ii)  $\bar{f}_{i,\max} > 0$ ,  $\bar{f}_{i,\min} > 0$  のとき  $P_{f,i} = P_{f,i1}$
- (iii)  $\bar{f}_{i,\max} < 0$ ,  $\bar{f}_{i,\min} < 0$  のとき  $P_{f,i} = P_{f,i2}$

以上のように同時に作用する荷重による破壊確率を、各交差荷重群について求めて、その中で最大の破壊確率を与えるものを各要素がもつ破壊確率であると考えて計算を制約条件に照らし合わせることにする。

5. 荷重 図1に示す同時荷重より構成された交差荷重群  $P_1, P_2$  を考える。各矢印は5 tonを示す。はり要素体すべて厚さ2cmの円筒形状をもち、断面積のみが変化する。

6. 計算例 制約破壊確率は  $P_{f,i} = 0.37 \times 10^{-6}$  ( $i=1, 2, \dots, 9$ ) とする。荷重  $P_1, P_2$  の対称性より要素1と2, 4と5, 7と8の断面積は、等しくなる。簡単のため荷重の変動係数  $= P_{\text{荷重}}$  はすべて等しく、また鋼材強度も逐一であると考えた。ただし、 $\gamma_p = 1/\gamma_s$  で各要素について同一とした。 $\gamma_p, \gamma_s$  の変化による設計変数の変化をみるために次の例①②③について計算した。例①については、Iterationによる設計変数、目的関数の変化を、各例について最終解における各要素がもつ荷重  $P_1$  による応力の平均値(最大値、最小値)および、最終的要素破壊確率を示す。

例①  $\gamma_p = 0.100$   $\gamma_s = 0.100$

②  $\gamma_p = 0.000$   $\gamma_s = 0.100$

③  $\gamma_p = 0.100$   $\gamma_s = 0.000$

図2 表1  $W = 6.54 \text{ ton}$

表2  $W = 6.22 \text{ ton}$

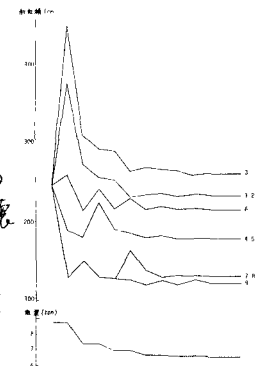
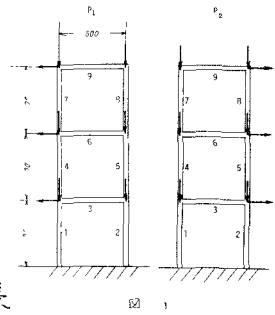
表3  $W = 5.38 \text{ ton}$

なお  $\rho_i = 7.85 \text{ t/m}^3$  下各表の単位は、kg-cmで下記。

7. 結論 最終的にみるときすべての要素が制約値に達していい場合だけである。(たゞ、(全応力とひずみ概念に対応するよ)な全破壊という状態が最適解となる場合)を示す。二つ計算法に与えられた収束条件を満足してみたところ以上動作がつかない。下の下、單に計算法による収束性の不十分な原因とされるのではなく、破壊確率を制約して下場合の特性下落すと思われる。また、 $\gamma_p, \gamma_s$  の変化においては、 $\gamma_s$  の方が大きく影響するところなど各表より結論している。

参考文献 (1) Doffo, M.W. and Feltin, L.P.

"Optimization of Truss Geometry" Proc. of A.S.C.E., Vol. 95, No. ST 10, Oct. 1969 pp2105~2118



要素番号	最大応力	断面積	破壊確率
1	945	-1270	$3.5 \times 10^{-7}$
2	1258	-1172	$3.5 \times 10^{-7}$
3	1112	-1093	$3.2 \times 10^{-7}$
4	942	-1218	$3.4 \times 10^{-7}$
5	1105	-1176	$3.4 \times 10^{-7}$
6	1116	-1092	$3.4 \times 10^{-7}$
7	1048	-1161	$3.7 \times 10^{-7}$
8	1093	-1126	$3.7 \times 10^{-7}$
9	1119	-1072	$3.2 \times 10^{-7}$

表1

要素番号

最大応力

断面積

破壊確率

要素番号

最大応力

断面積

破壊確率

要素番号

最大応力

断面積

破壊確率

要素番号

最大応力

断面積

破壊確率

要素番号

最大応力

断面積

破壊確率